

図 2-2 直火で使用するフッ素樹脂加工製品のXPSスペクトル
 (* : フッ素元素由来ピーク)

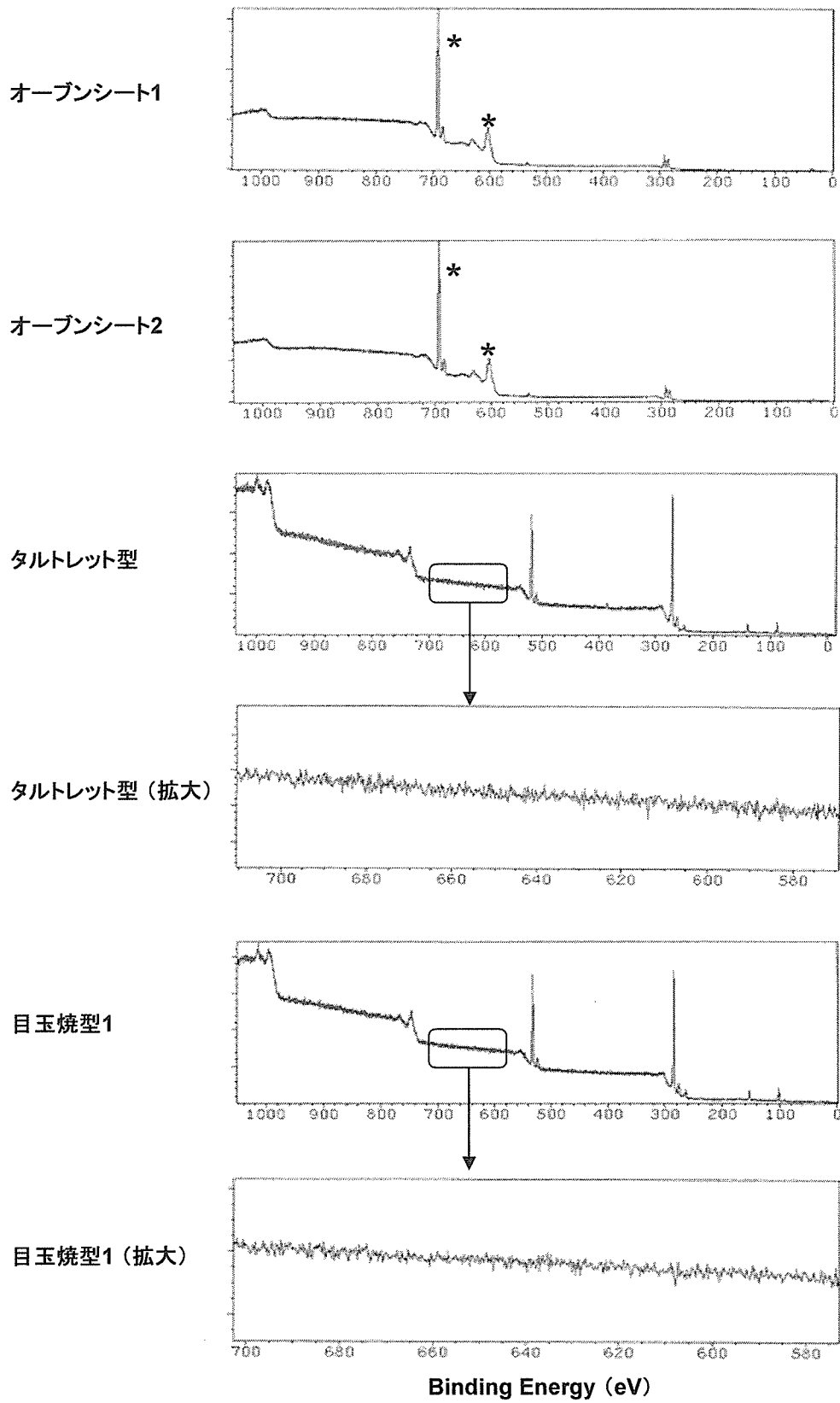


図 3-1 オープンまたは100°C以上で使用するフッ素樹脂加工製品のXPSスペクトル
 (* : フッ素元素由来ピーク)

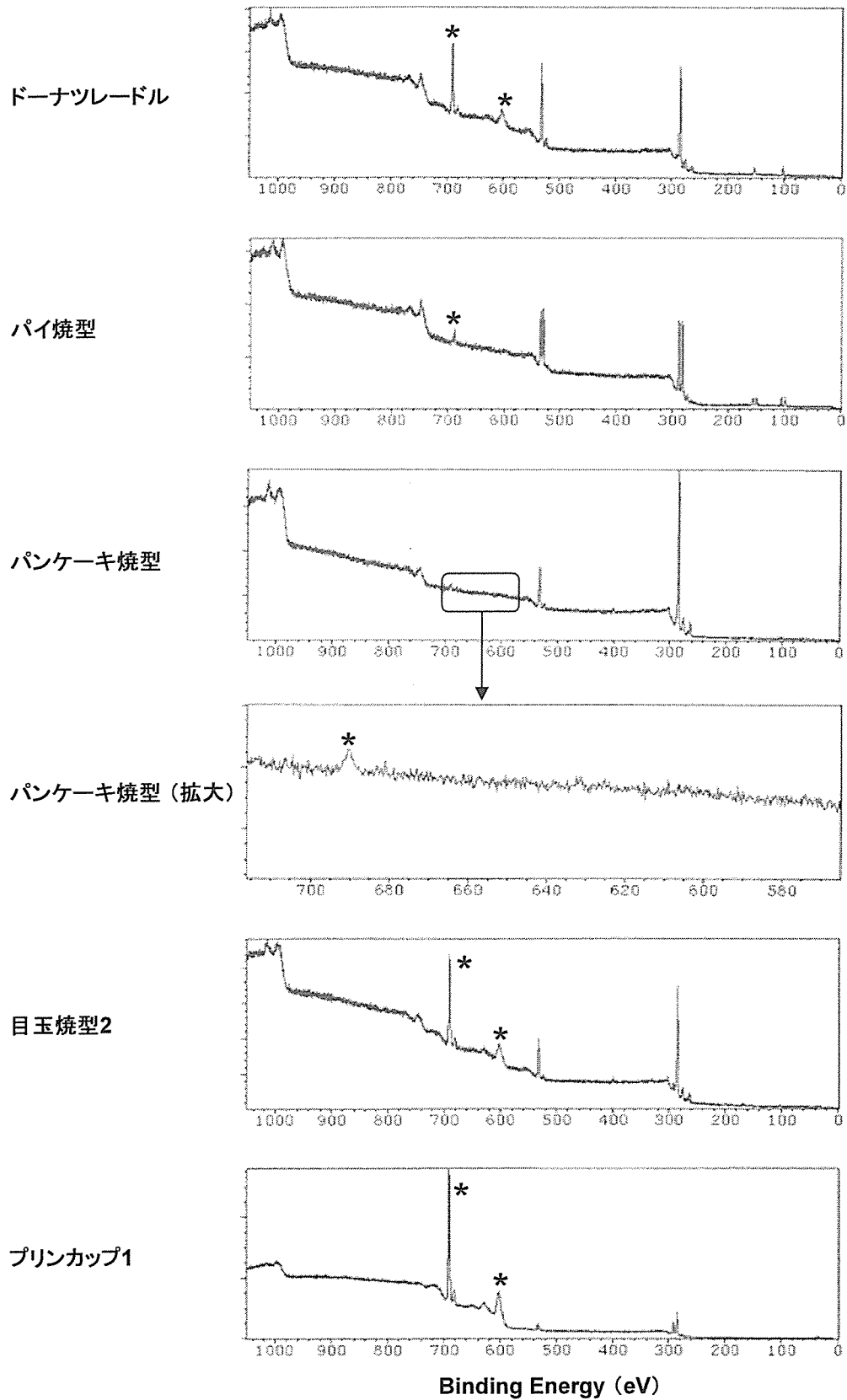


図 3-2 オープンまたは100°C以上で使用するフッ素樹脂加工製品のXPSスペクトル
 (* : フッ素元素由来ピーク)

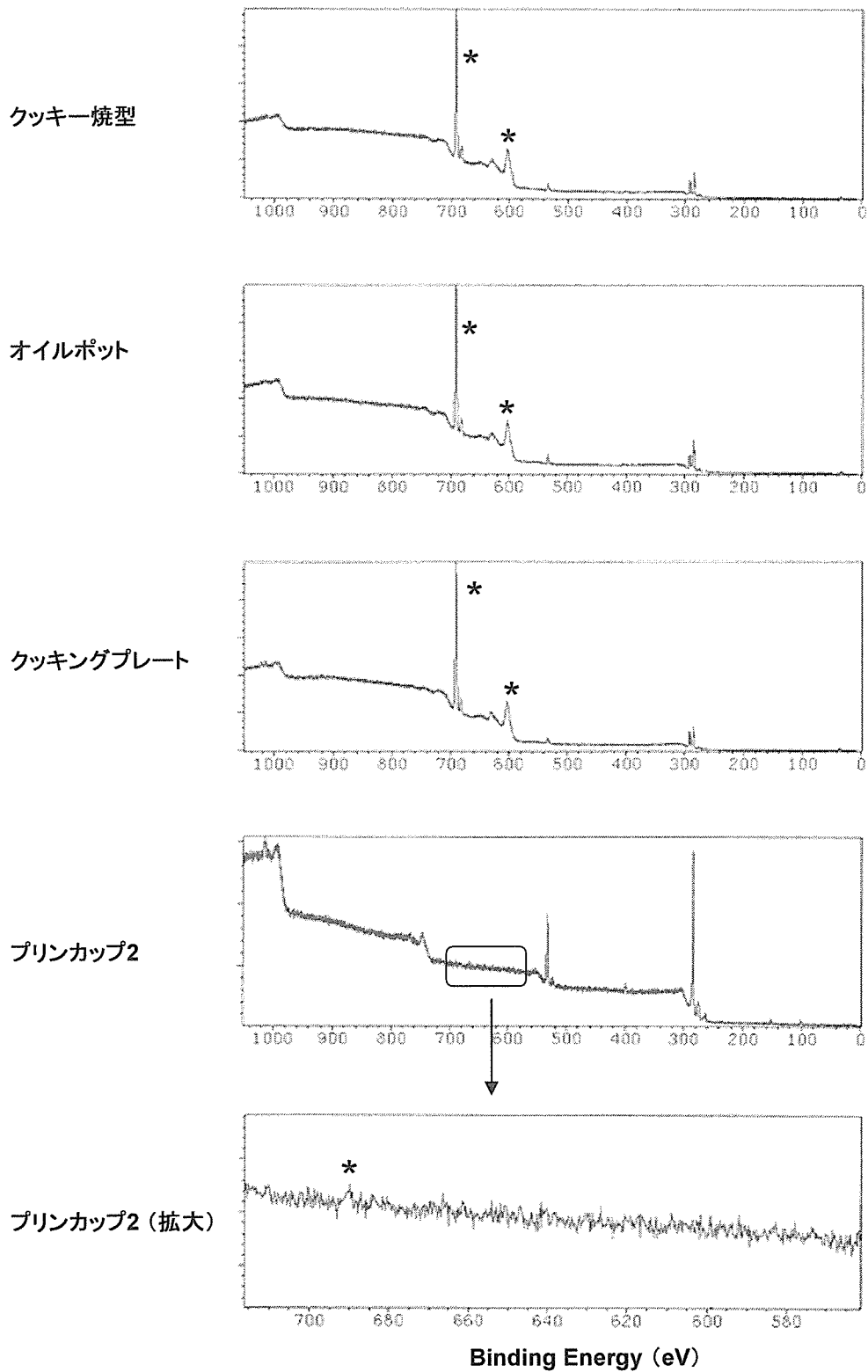


図 3-3 オープンまたは100°C以上で使用するフッ素樹脂加工製品のXPSスペクトル
 (* : フッ素元素由来ピーク)

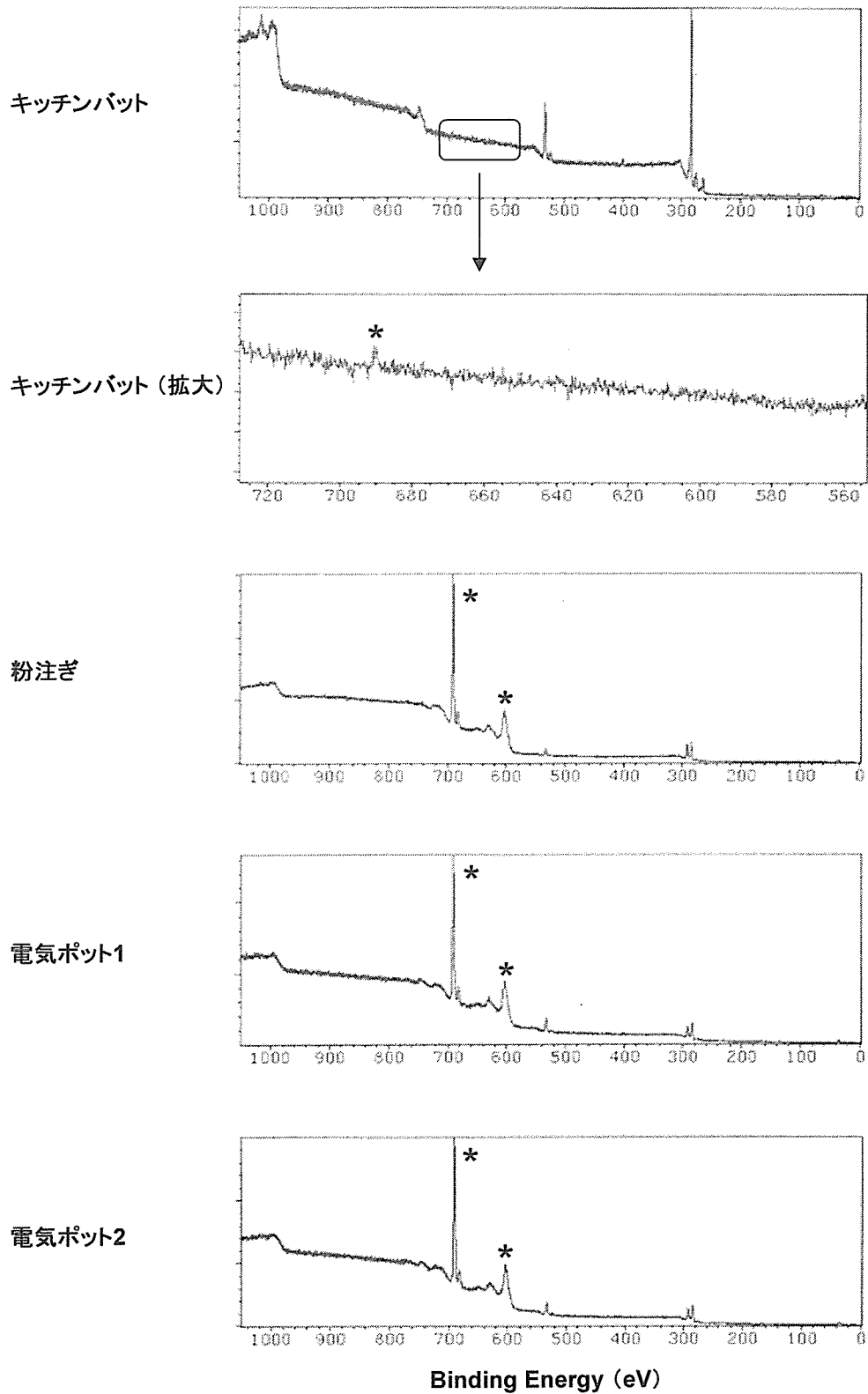


図 4 100℃以下で使用するフッ素樹脂加工製品のXPSスペクトル
 (* : フッ素元素由来ピーク)

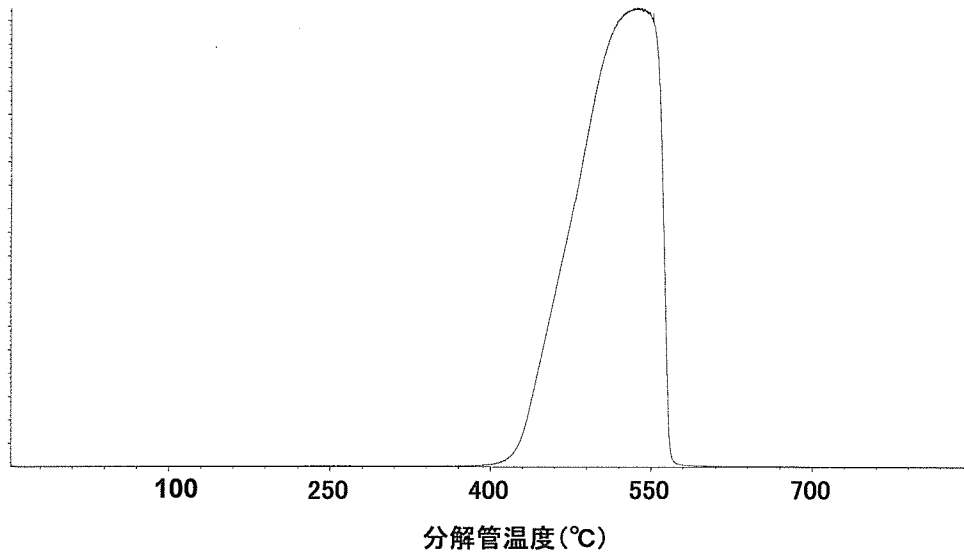


図 5 分解管温度とPTFE製チューブからの分解物の発生

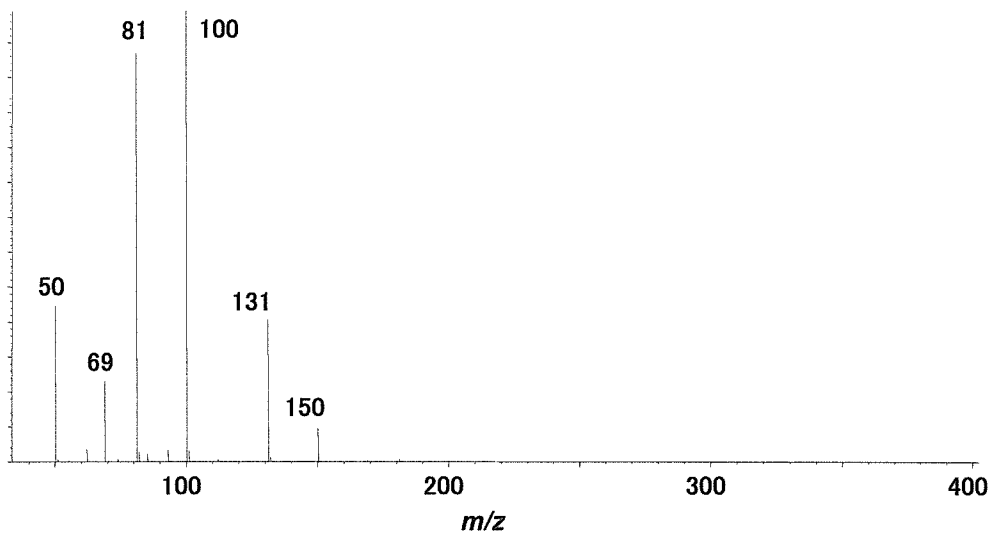


図 6 分解管温度550°Cにおけるマススペクトル

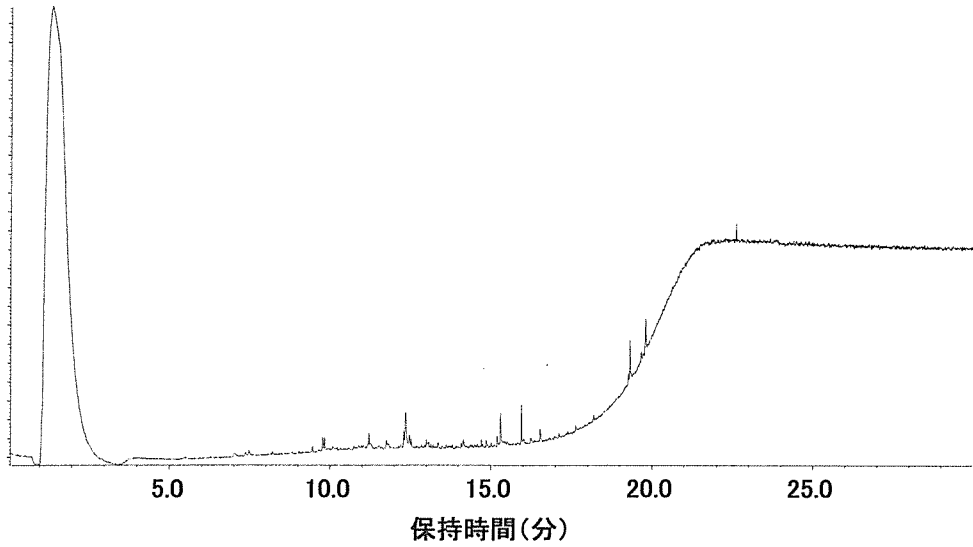


図 7 フライパン1 のPy-GC/MS/トータルイオンクロマトグラム

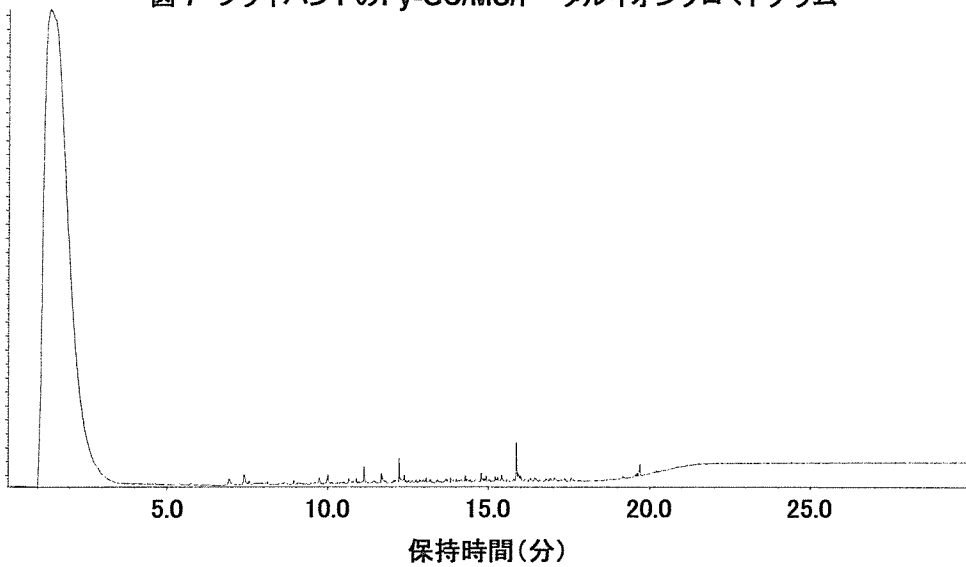


図 8 フライパン2 のPy-GC/MS/トータルイオンクロマトグラム

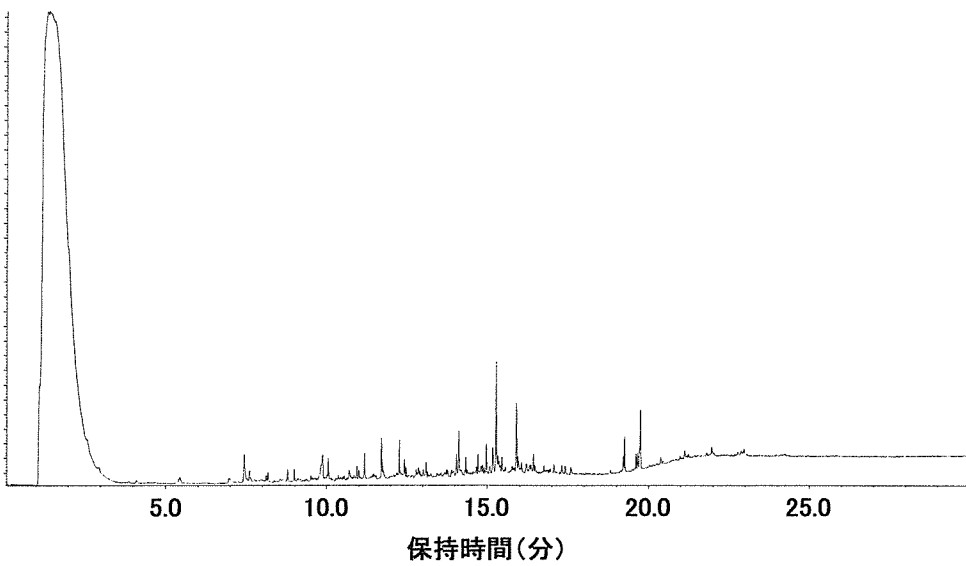


図 9 フライパン3 のPy-GC/MS/トータルイオンクロマトグラム

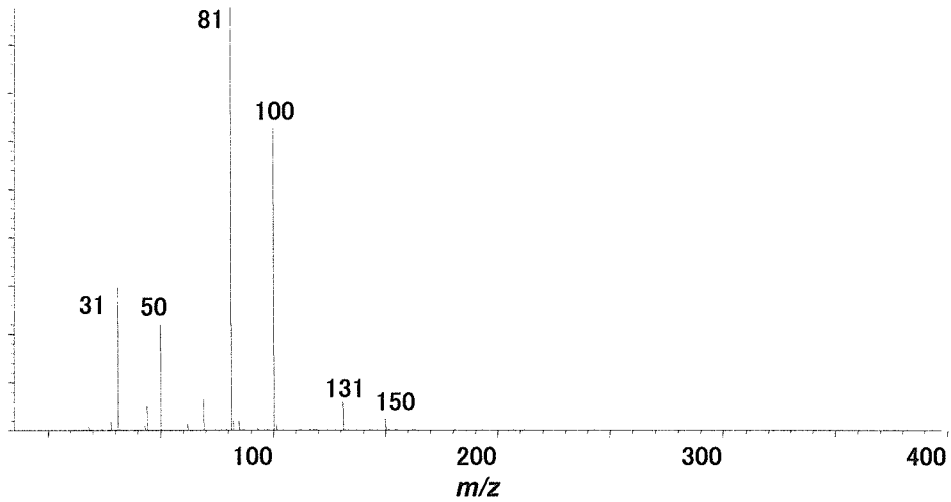


図 10 フライパン1 のピーク(保持時間:2.0分)のマススペクトル

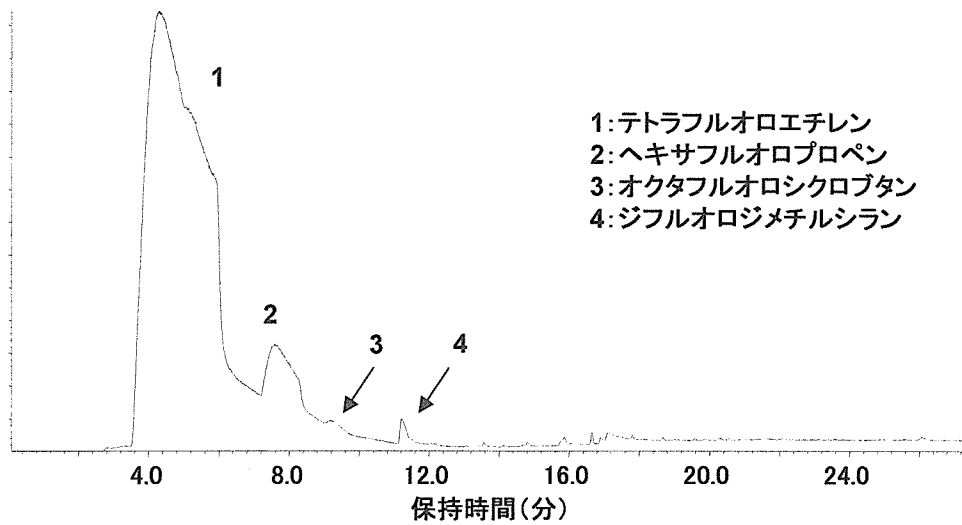


図 11 フライパン1 の低分子条件Py-GC/MS/トータルイオンクロマトグラム

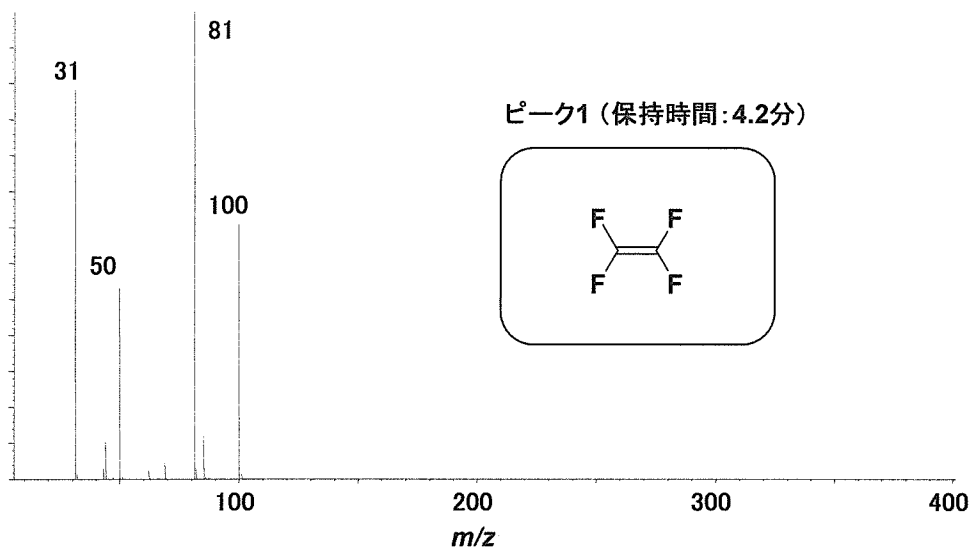


図 11a テトラフルオロエチレンのマススペクトル

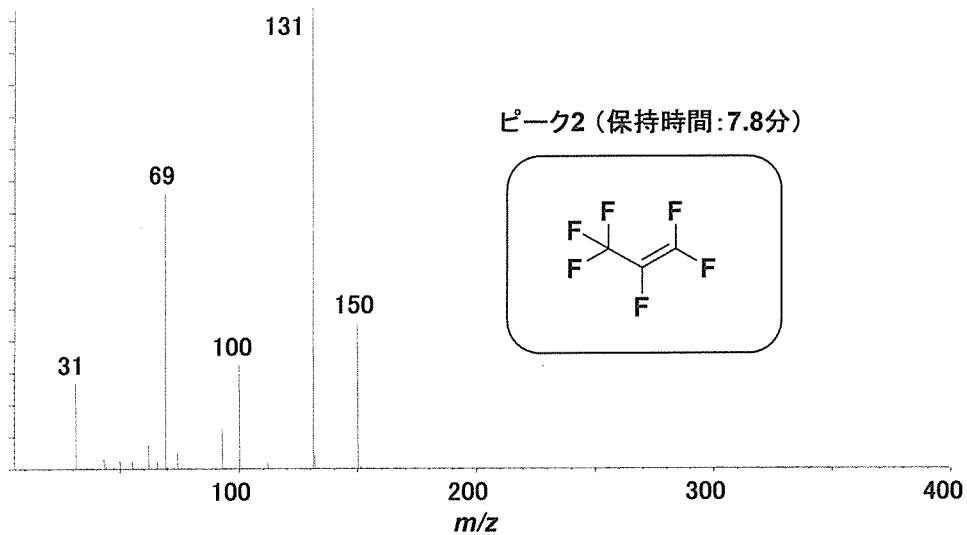


図 11b ヘキサフルオロプロピンのマススペクトル

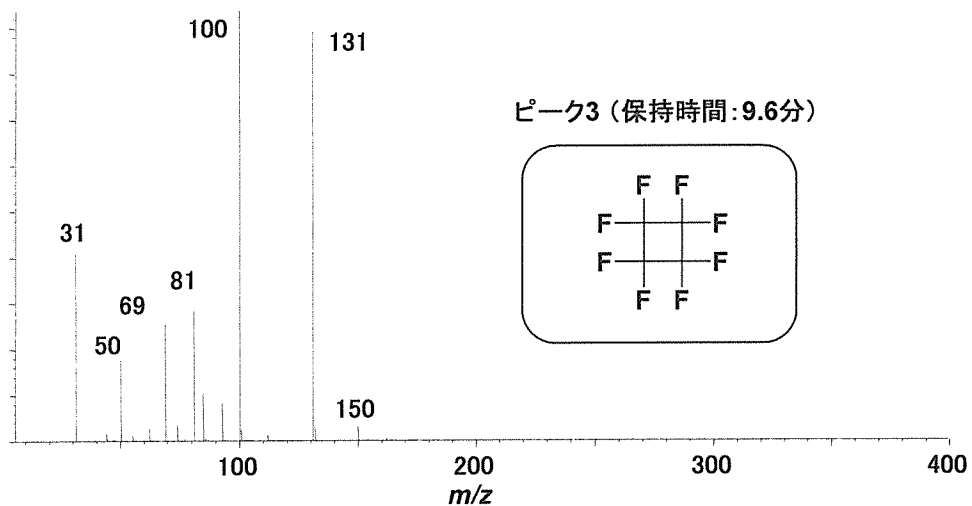


図 11c オクタフルオロシクロブタンのマススペクトル

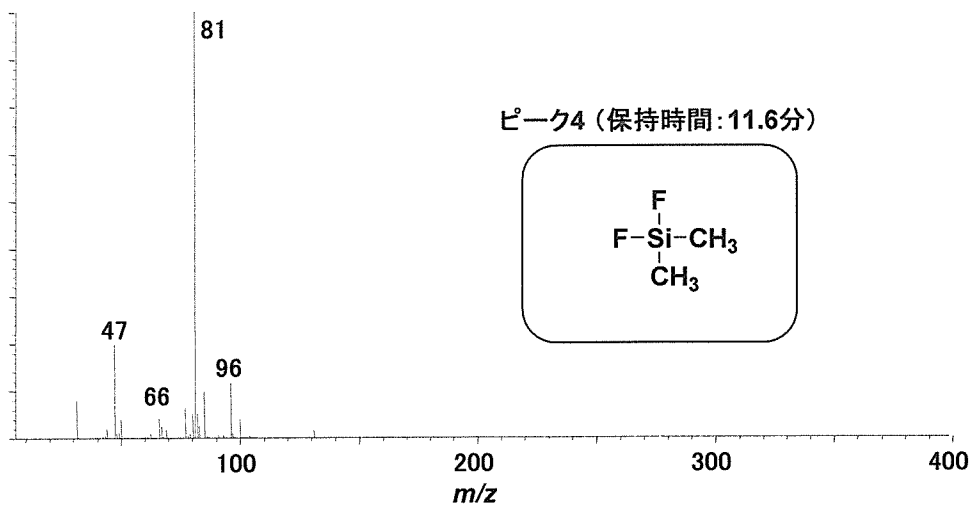


図 11d ジフルオロジメチルシランのマススペクトル

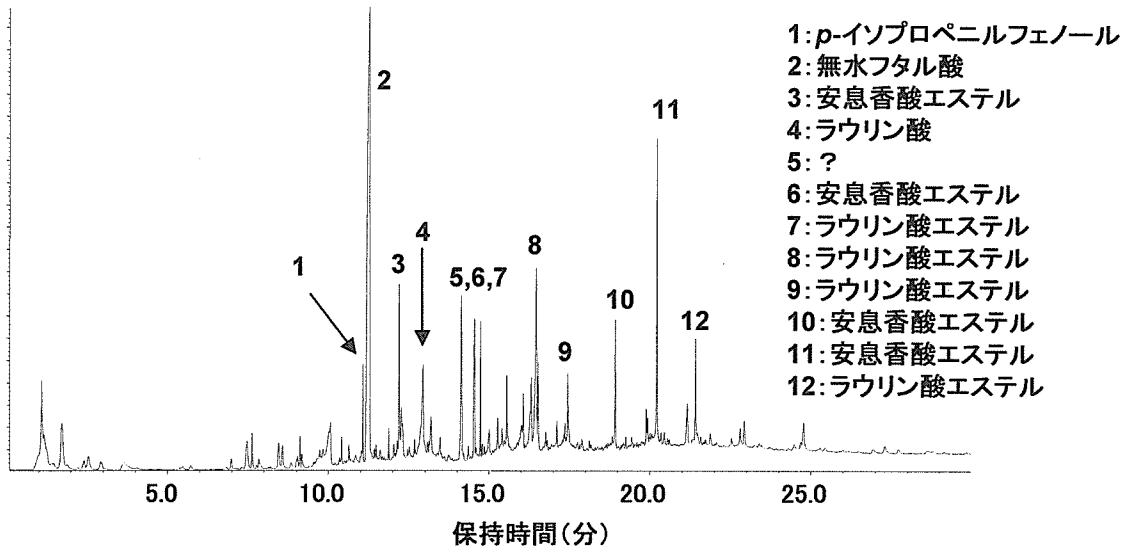


図 12 フライパン4 のPy-GC/MS/トータルイオンクロマトグラム

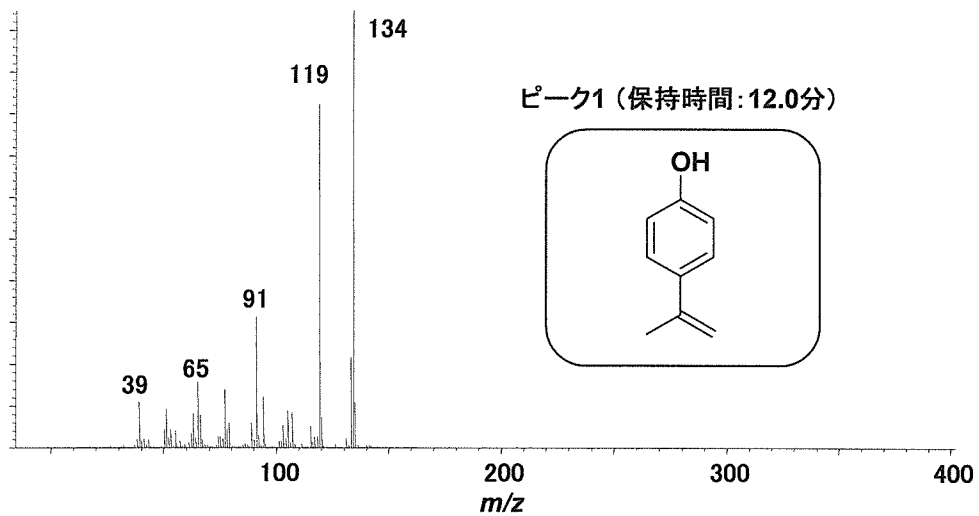


図 12a *p*-イソプロペニルフェノールのマススペクトル

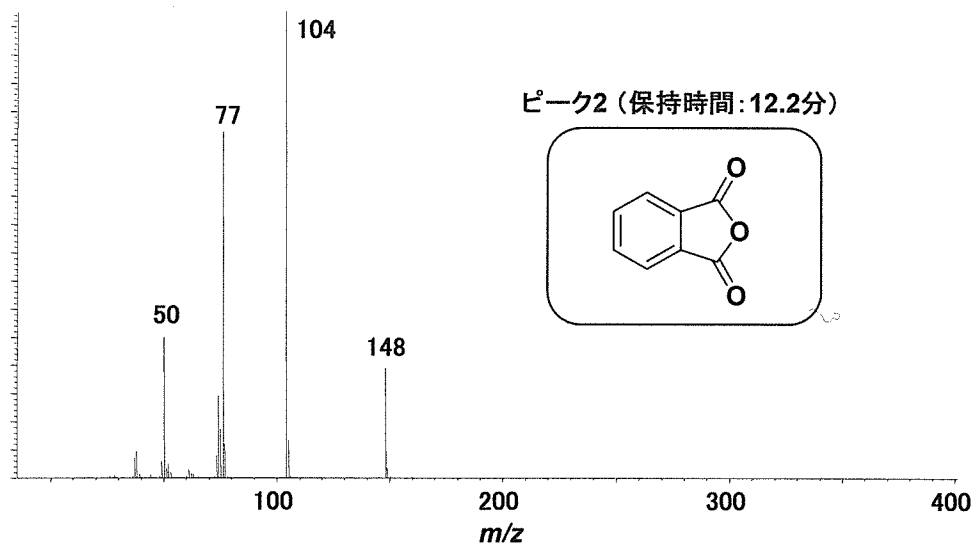


図 12b 無水フタル酸のマススペクトル

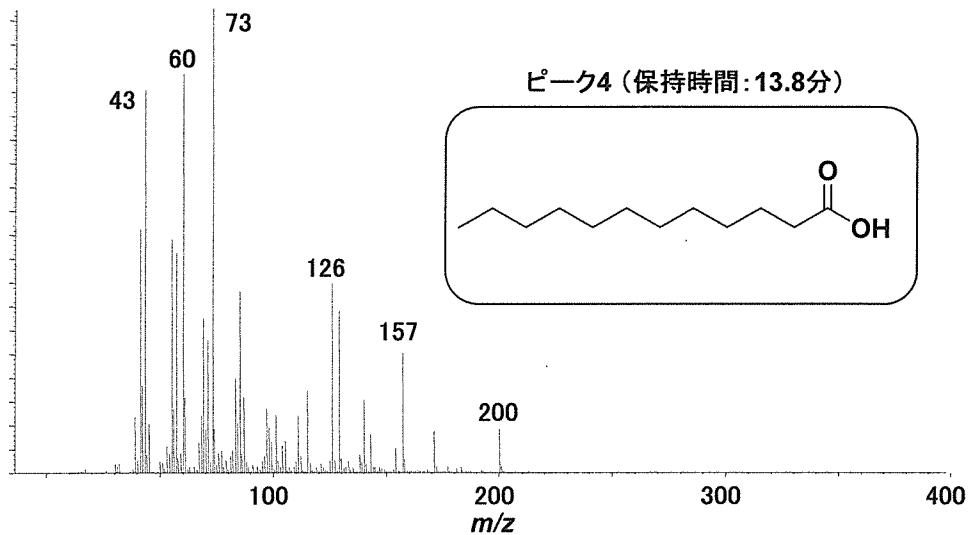


図 12c ラウリン酸のマススペクトル

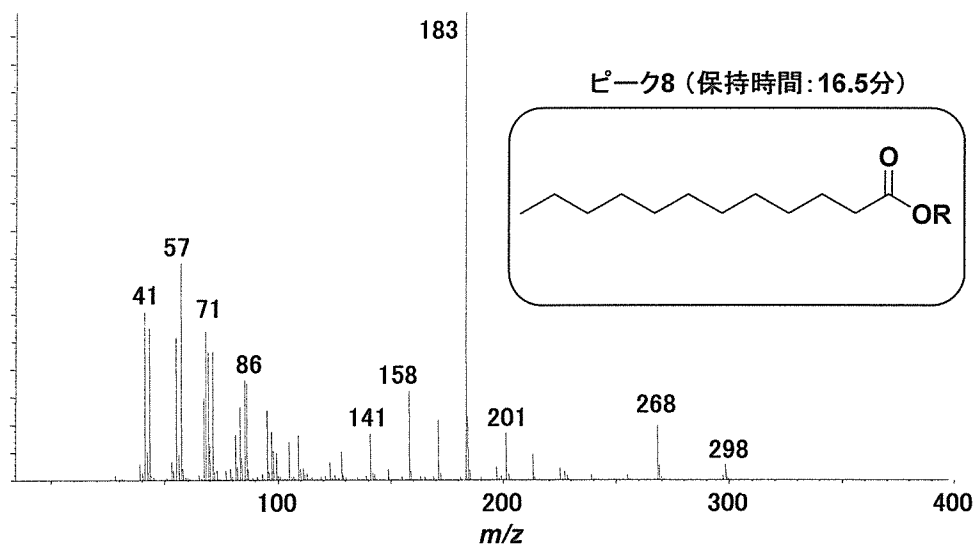


図 12d ラウリン酸エステルのマススペクトル

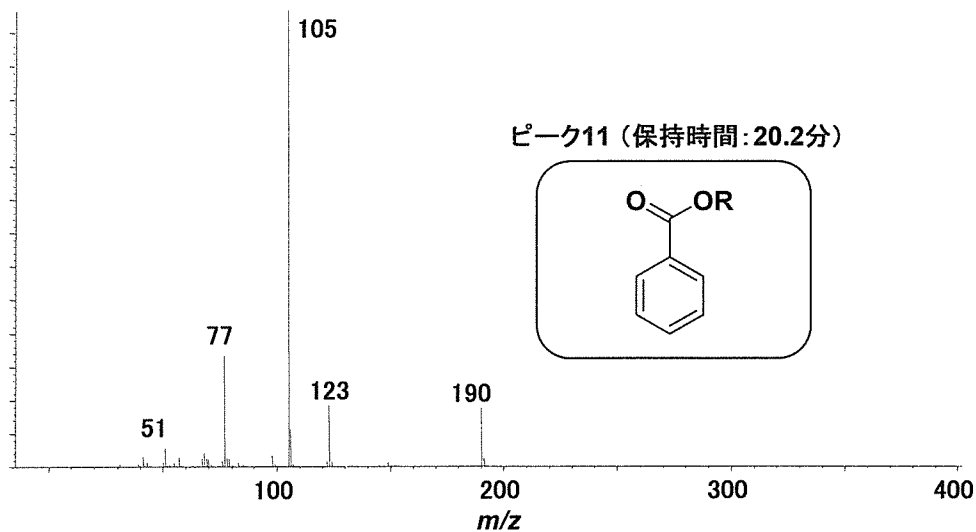


図 12e 安息香酸エステルのマススペクトル

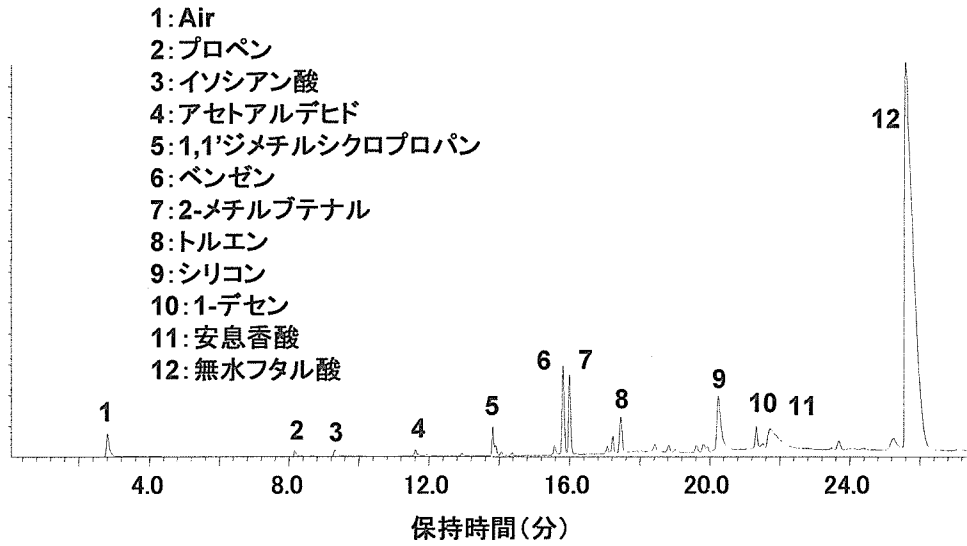


図 13 フライパン4 の低分子条件Py-GC/MS/トータルイオンクロマトグラム

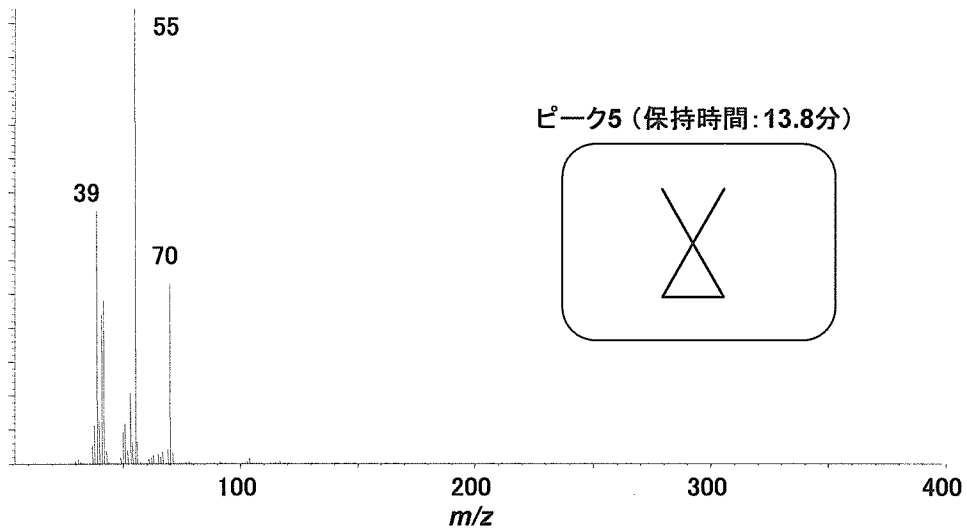


図 13a 1,1,-ジメチルシクロプロパンのマススペクトル

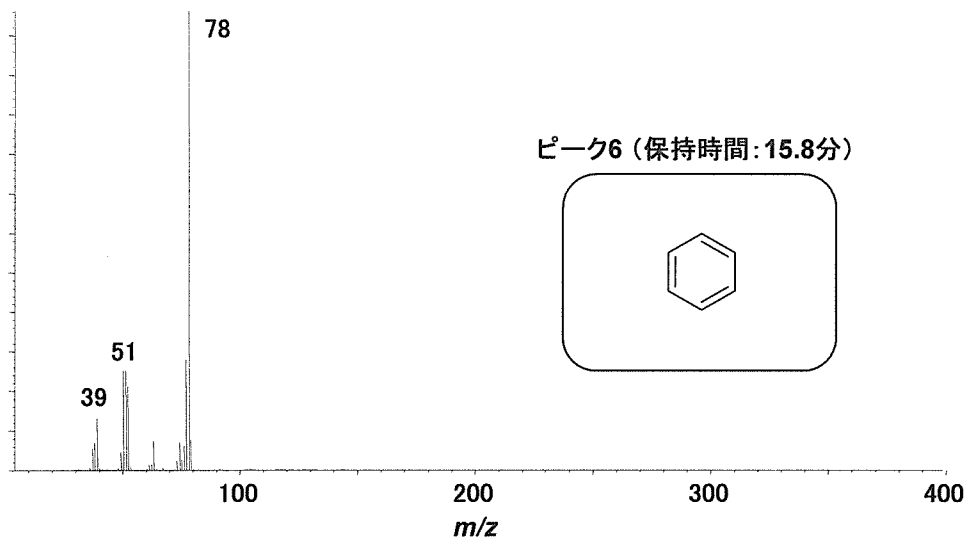


図 13b ベンゼンのマススペクトル

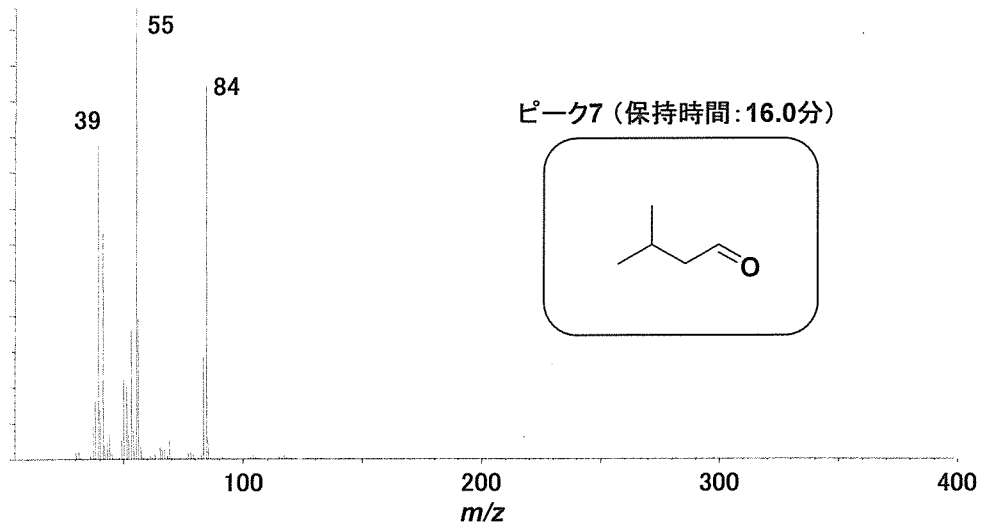


図 13c 2-メチルブテナルのマススペクトル

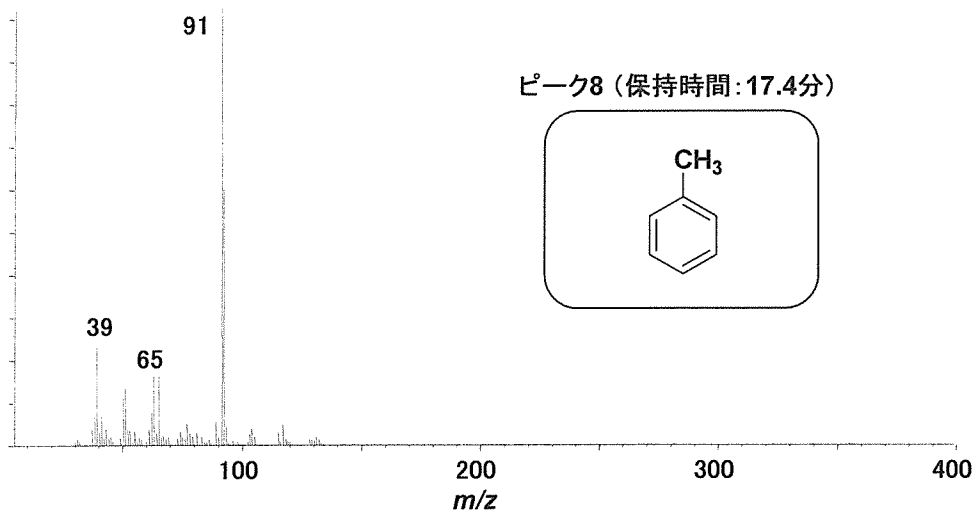


図 13d トルエンのマススペクトル

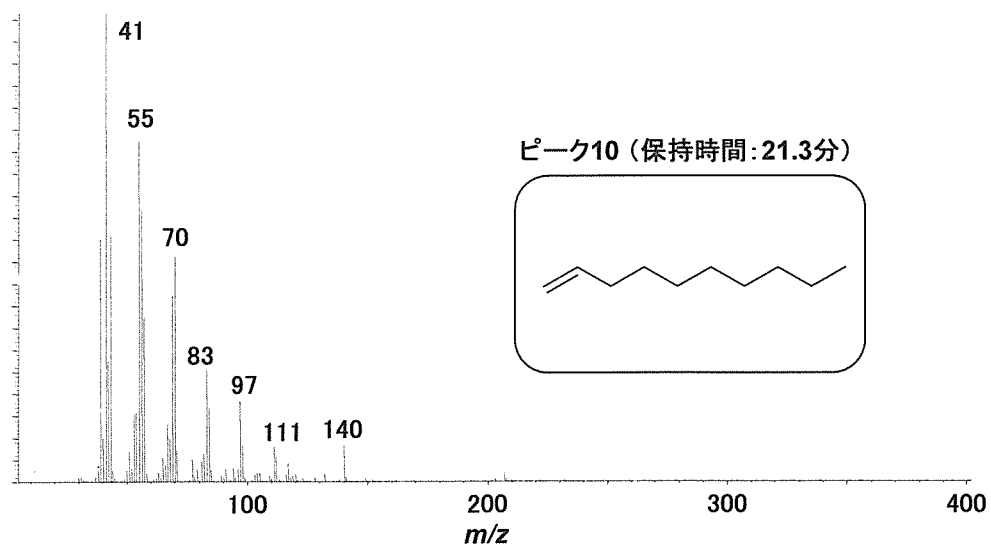


図 13e 1-デセンのマススペクトル

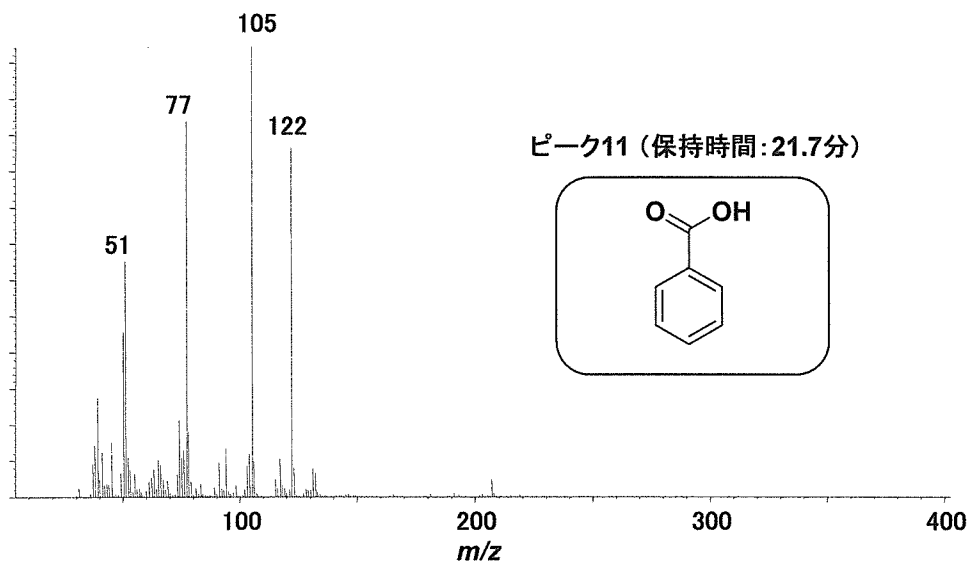


図 13f 安息香酸のマススペクトル

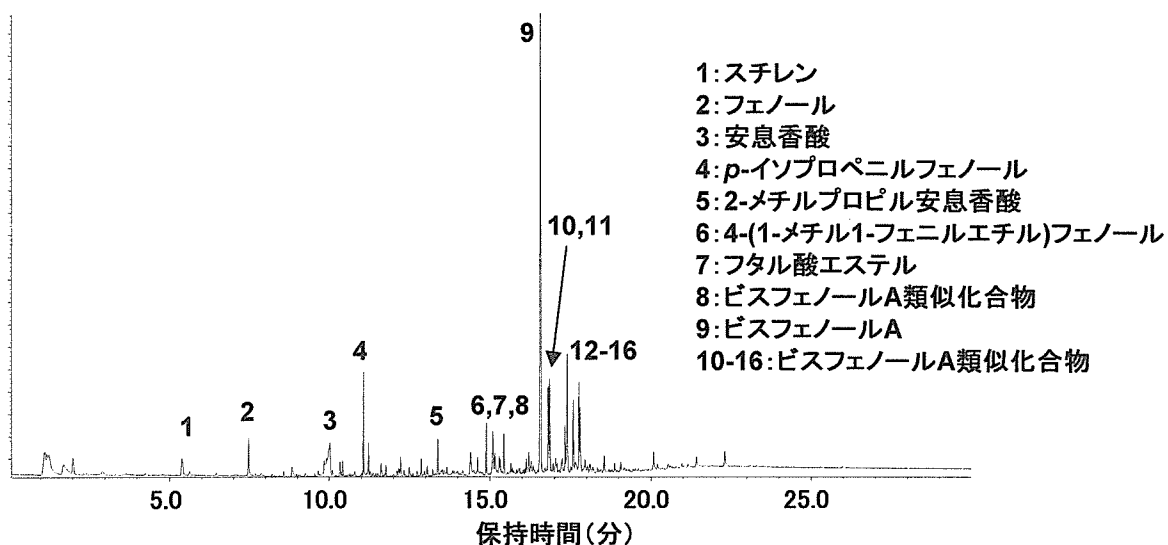


図 14 フライパン5 のPy-GC/MS/トータルイオンクロマトグラム

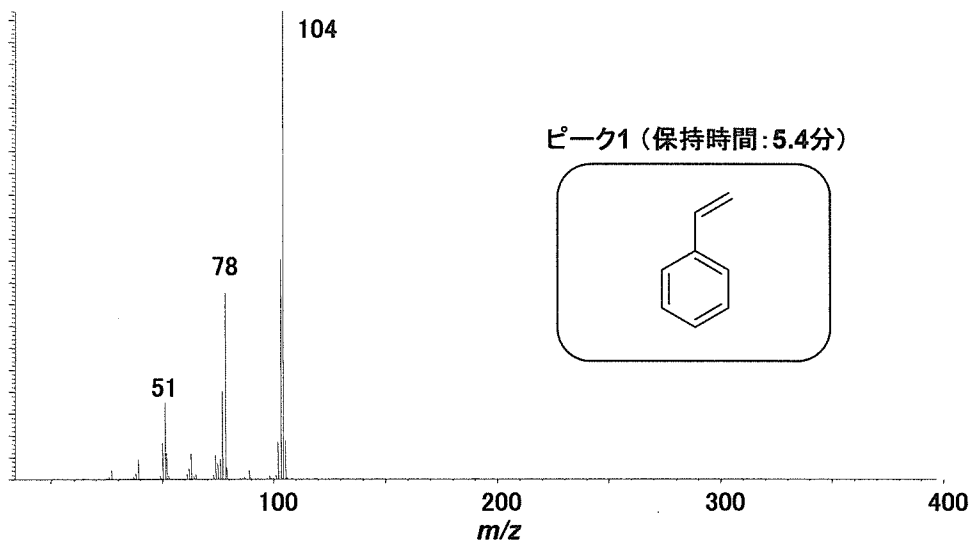


図 14a スチレンのマススペクトル

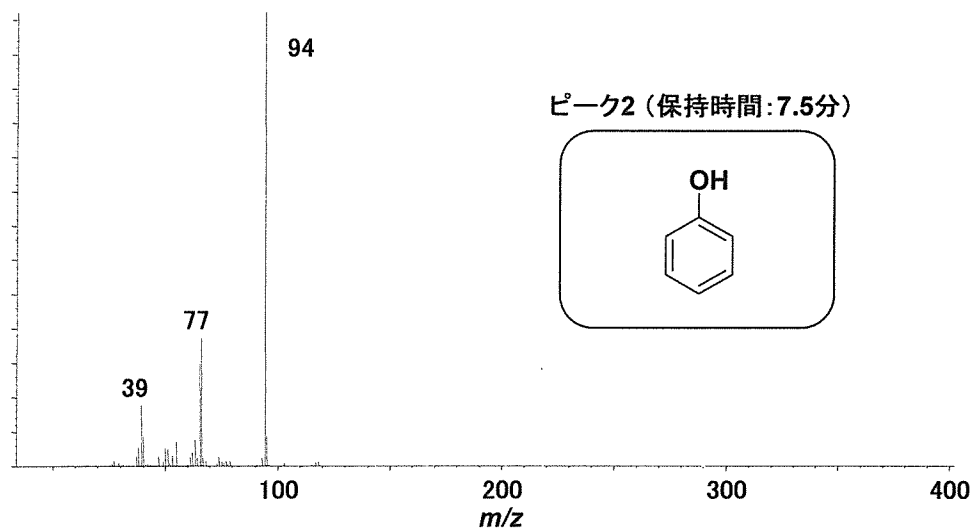


図 14b フェノールのマススペクトル

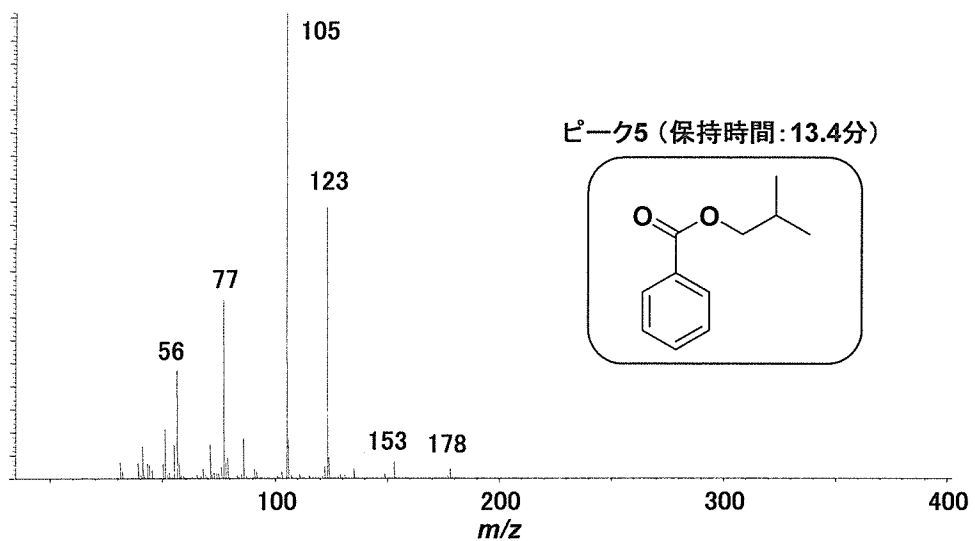


図 14c 2-メチルプロピル安息香酸のマススペクトル

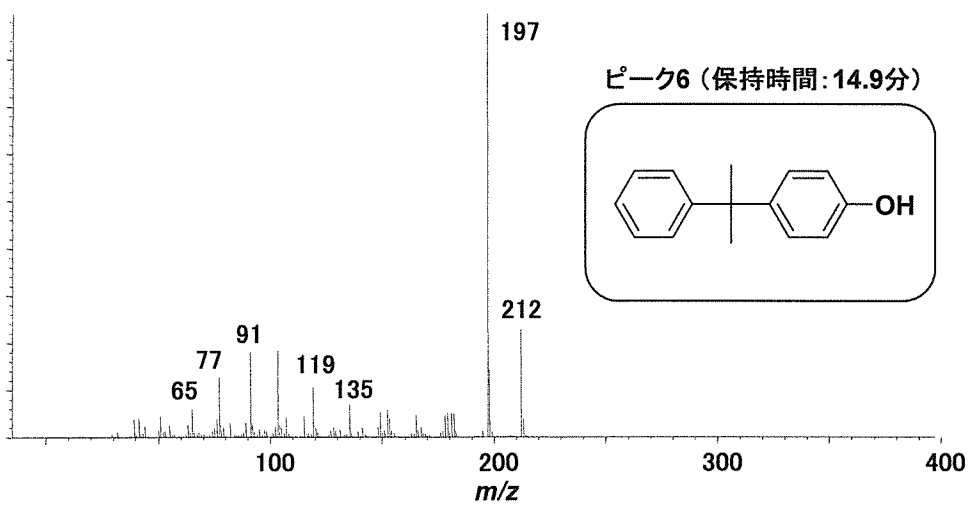


図 14d 4-(1-メチル1-フェニルエチル)フェノールのマススペクトル

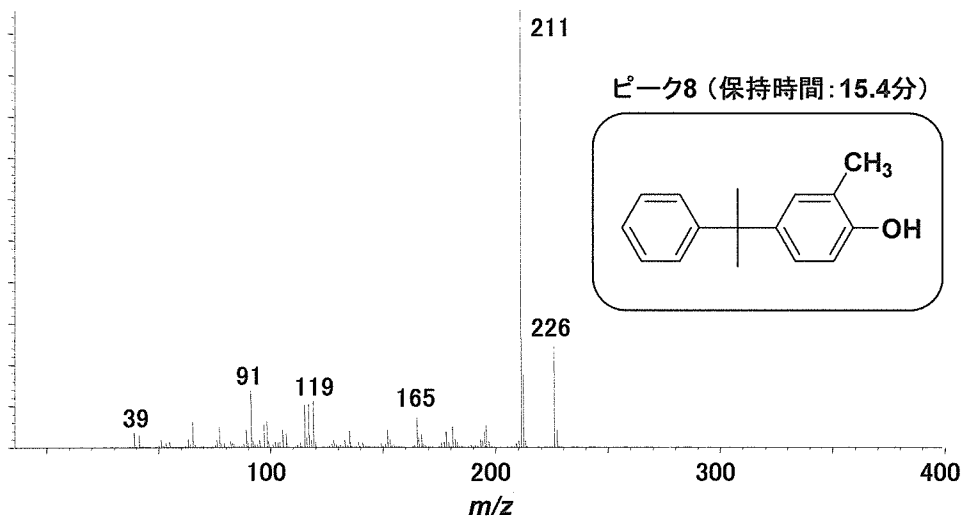


図 14e ビスフェノールA類似化合物のマススペクトル

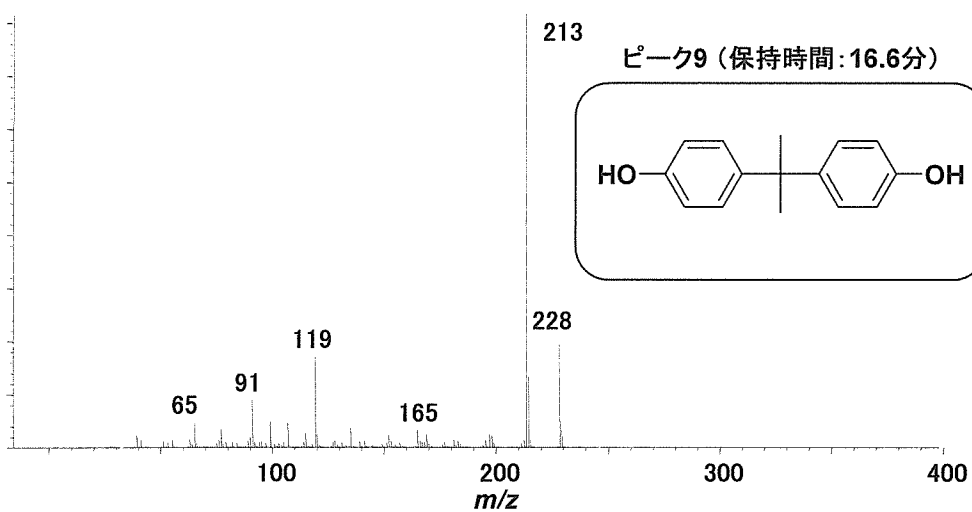


図 14f ビスフェノールAのマススペクトル

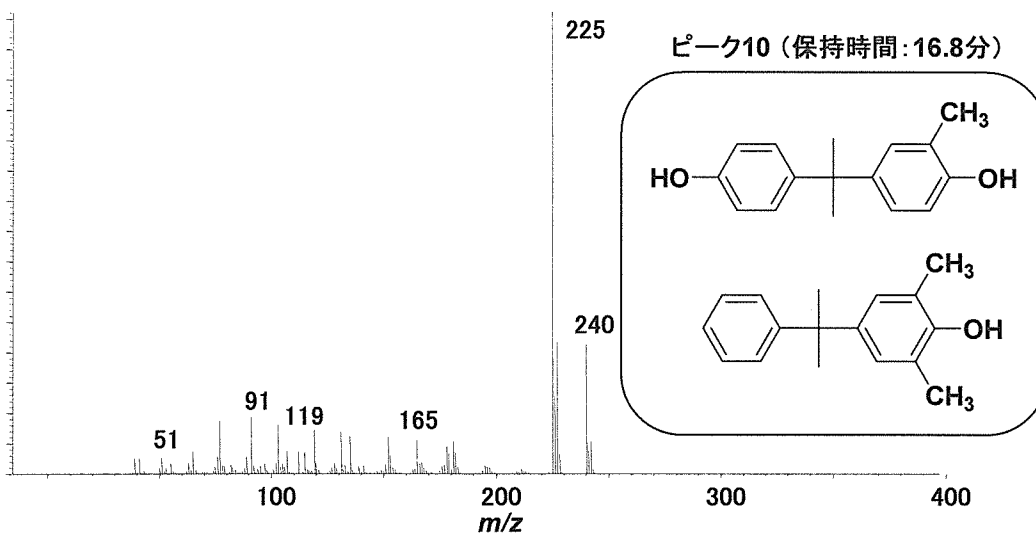


図 14g ビスフェノールA類似化合物のマススペクトル

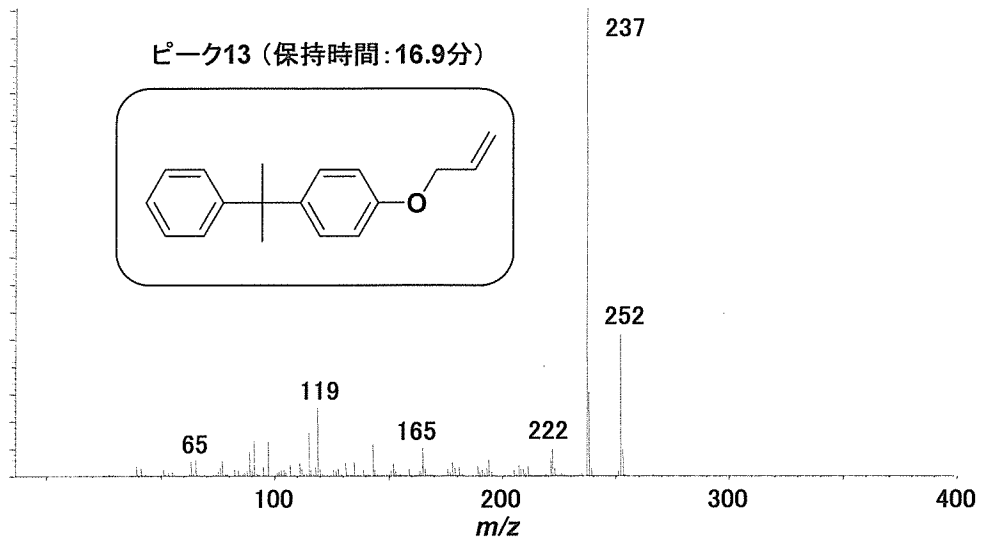


図 14h ビスフェノールA類似化合物のマススペクトル

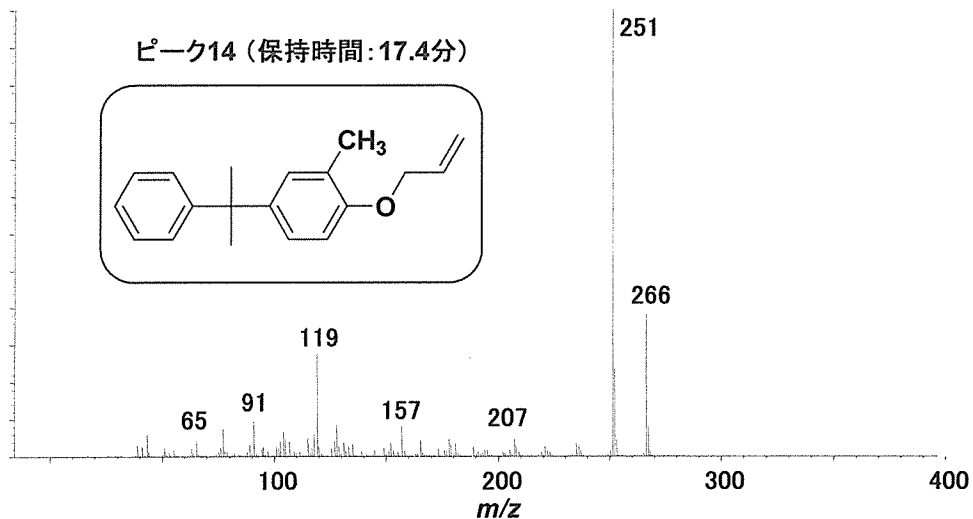


図 14i ビスフェノールA類似化合物のマススペクトル

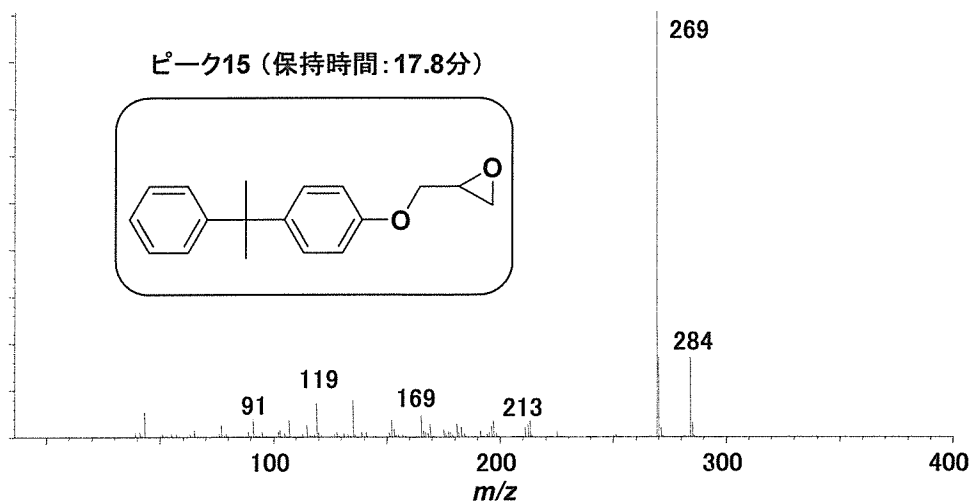


図 14j ビスフェノールA類似化合物のマススペクトル

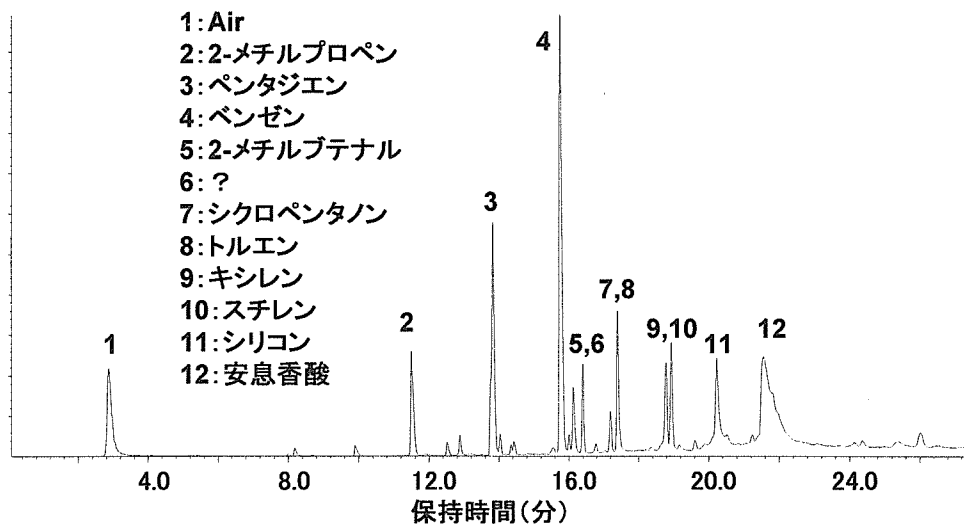


図 15 フライパン5 の低分子条件Py-GC/MS/トータルイオンクロマトグラム

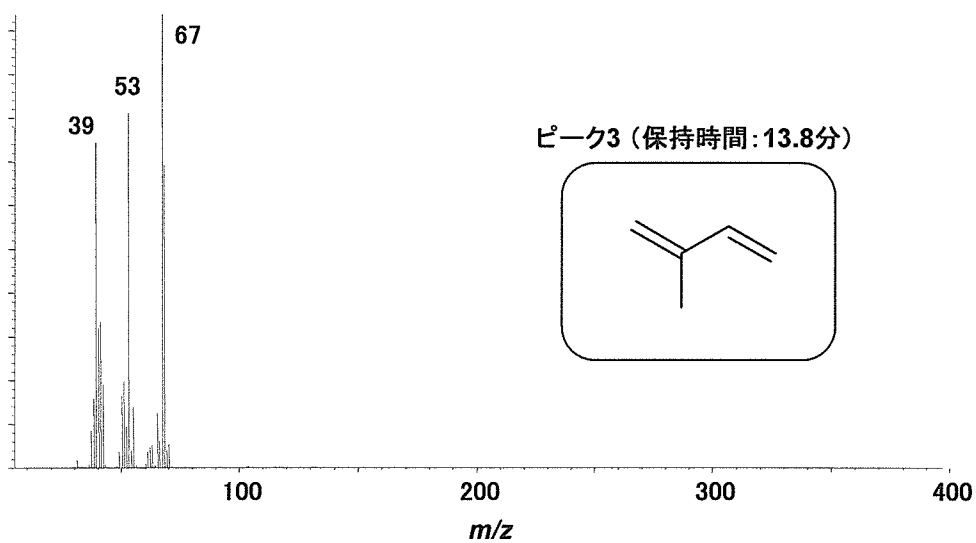


図 15a ペンタジエンのマススペクトル

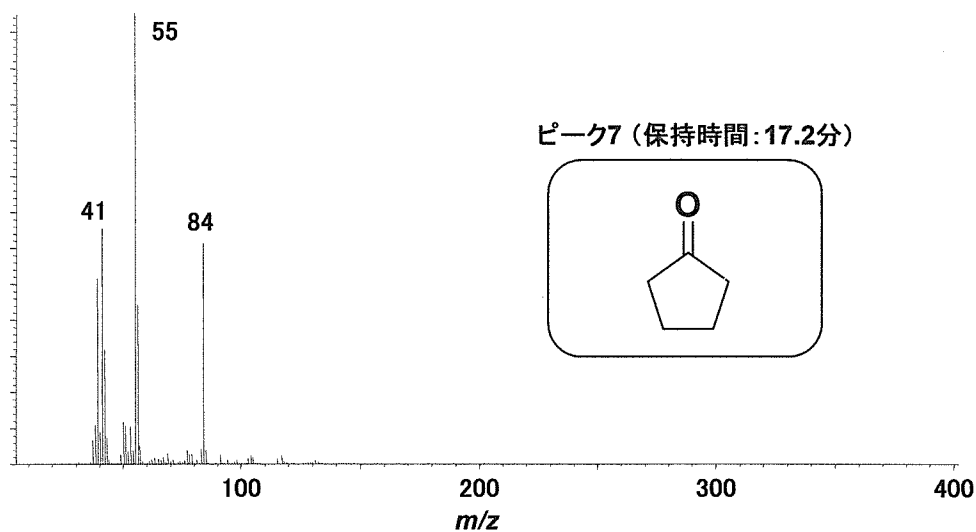


図 15b シクロペンタノンのマススペクトル

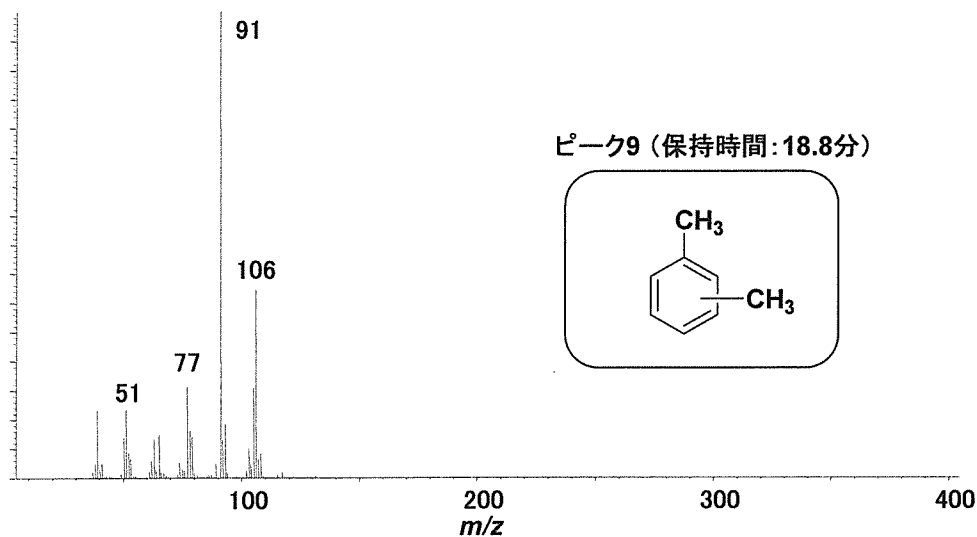


図 15c キシレンのマススペクトル

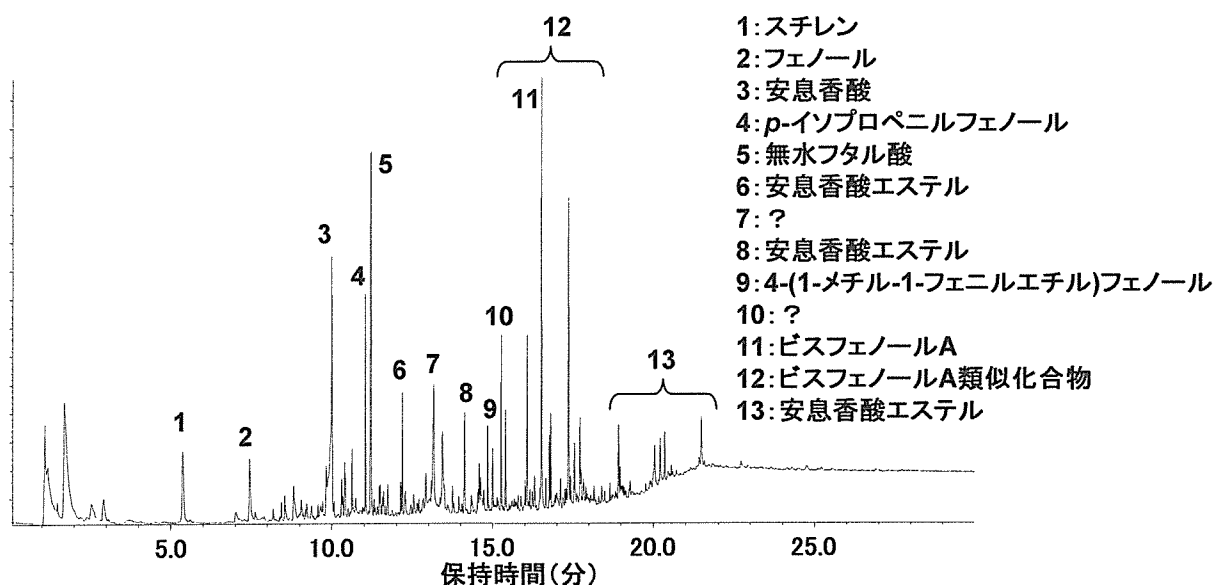


図 16 フライパン6 のPy-GC/MS/トータルイオンクロマトグラム

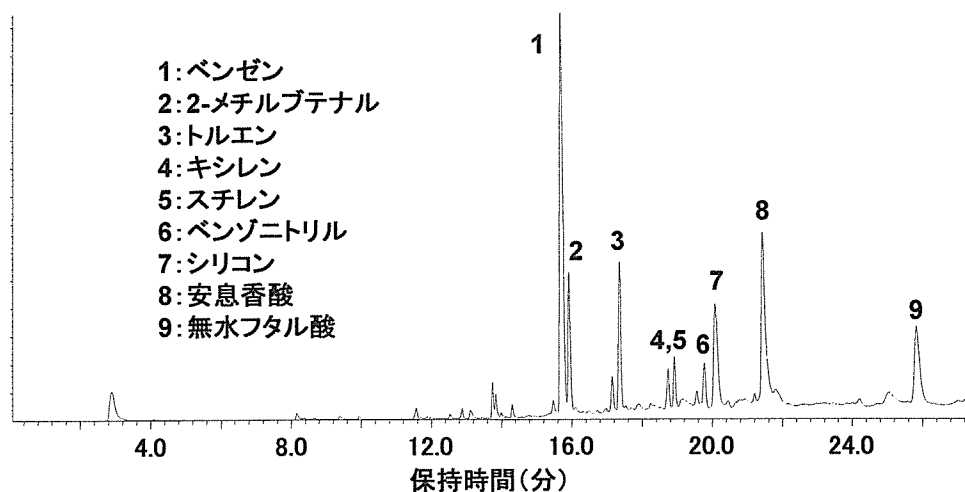


図 17 フライパン6 の低分子条件Py-GC/MS/トータルイオンクロマトグラム

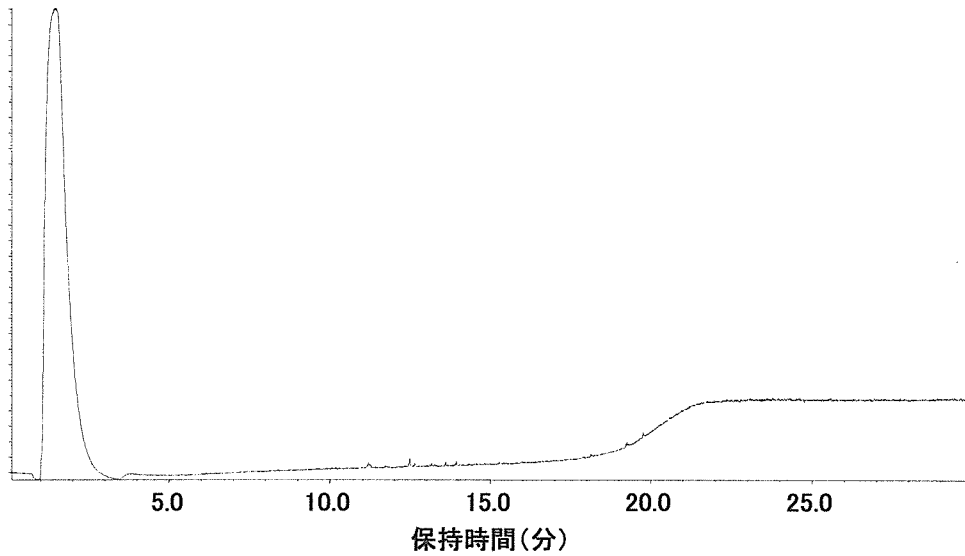


図 18 オープンシート1のPy-GC/MS/トータルイオンクロマトグラム

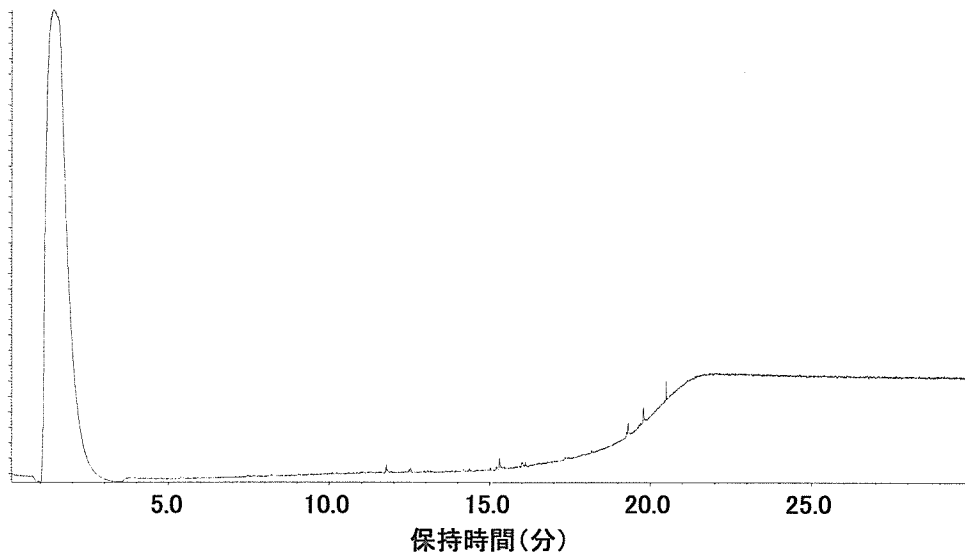


図 19 オープンシート2のPy-GC/MS/トータルイオンクロマトグラム

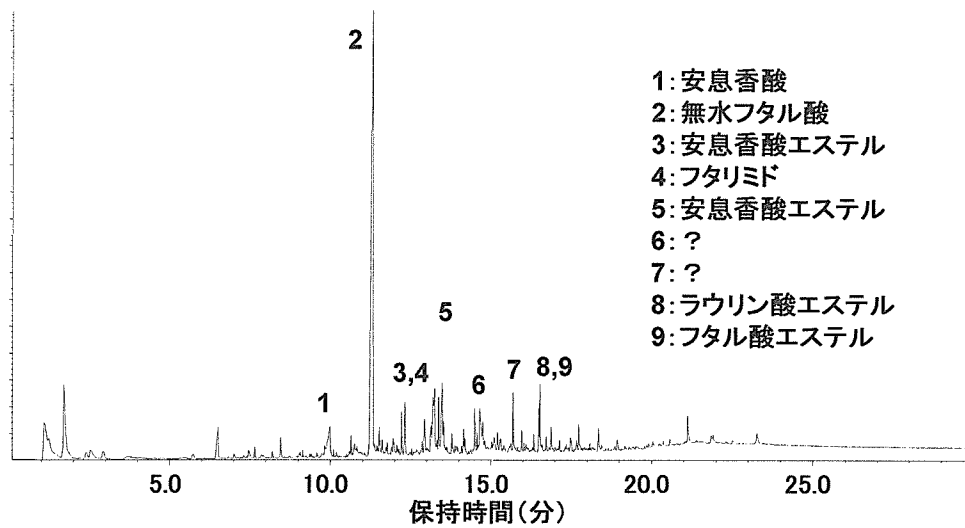


図 20 タレット型のPy-GC/MS/トータルイオンクロマトグラム